

H型断面吊材の風による振動の観測と風洞実験

熊大 正員 吉村虎蔵 九大 正員 吉村 健
学生員 水田洋司 熊大 藤田信正

はじめに

前報¹⁾では、ランガー橋の吊材として広く用いられてるH型断面吊材(高さ倍率:ワジシ高=1:0.83)とH型断面のウェブに穴をあけた吊材の風による振動的応答について報告した。ここでは筆者がたまに台風時に撮影することができた8ミリ映画よりまとめた実橋におけるH型吊材の振動状態およびアルミ製のH型吊材模型を用いた追加実験について述べ、防振りたわみ1~2の試みもどくつけて報告する。

1. H型断面吊材の風による振動の観測

振動1の吊材の長さは22m~16.5mで、部材断面は2-PZ 390x13(mm) 1-PZ 300x6(mm)である。台風の中心の移動に伴って、風向きの吊材が振動した約50分間に迎角が約70°から90°近くまで徐々に変化した。以下時間を追って風速と吊材の振動状態を記す。(1)迎角約70°、風速18m/s~22m/s、吊材の振動がなり。(2)迎角や、増加、風速19m/s~24m/s、風上側の主構の吊材1本が振動をはじめる。その後風下側主構のスパン中央の吊材の両側2本が微動をはじめ、中央吊材は振動しない。この時の振動は揺れ振動である。(3)迎角や、増加、風速20m/s~25m/s、風下側主構の中央部分の吊材2~5本の揺れ振動がひどくなる。風上側吊材2本も振動する。風下側の主構の吊材5本だけが振動して、風上側主構の吊材が振動しない時もある。しばらく時間経過。迎角、風速ともやや増加、最大風速26m/sのところであろうか。中央部分の7~8本の吊材の揺れ振動が最もひどくなる。揺れ角の最大全振幅は約5.5°(4)風速20m/s以下におちる。迎角約90°で曲げ振動をみる。最大全振幅約10mm。上の記述のうち、風速はアーチクラウン上の風速計の記録による。迎角の値については、風向計の記録を参考にし、橋上で頭上に楊柳のタオルのなじき具合を8ミリ映画の記録より読み、その概略値を記した。

2. H型断面吊材模型に関する追加実験

模型、実験装置等については前報¹⁾を参照された。追加実験は、模型の振動数を下げる目的でアルミ製模型を用い、質量分布は前報と同じとした。この実験では迎角が0°~20°の範囲で3次の曲げ振動を、75°~80°で揺れの発散振動を見ることができた。追加実験実験に用いた模型の振動数と減衰率を表-1に示す。H型断面吊材の振動をまとめると次のようである。

	振動数(Hz)	減衰率(%)
曲げ	B-1 41.7	0.034
	B-2 37.2	0.025
揺れ振動	80.7	0.026

表-1. アルミ製模型の振動数と減衰率

(曲げ振動)

(1)迎角0°~20°の時 $\bar{V}=9$ 付近で鋭いピークをもつ渦励振が生じる(図-1)。

(2)迎角80°~90°の時 $\bar{V}=9.5$ 付近で小さなピークをもつ渦励振が生じる(前報¹⁾参照)

また図-1に記すように、迎角が0°~20°の範囲の高い風速で振動振幅が大きくなりはじめる。しかもこの時の振動数は190Hz(1次振動の約5.1倍)である。風脛の関係上 $\bar{V}=45m/s$ までしか実験できなかつたが、 $\alpha=10^\circ$ の時 $\bar{V}=45m/s$ でも振幅は増加する傾向にあり、この時の $\bar{V}=9$ ($\bar{f}=180Hz$ を用いた時)である。本模型では支持条件が固定とピン支持の中間にあること等から推察して約190Hzの振動は1次の37.2Hzに対する3次振動と思われ、また1次振動のときのピークを示す \bar{V} と3次振動の時の \bar{V} とが共に約9である。

ることから、3次振動も曲げの渦励振であると判断される。

[捩り振動]

迎角 $\alpha = 0^\circ \sim 20^\circ$ の範囲において $\bar{V} = 8.5$ 前後で捩れの渦励振がおこり（前報¹⁾参照）、 $\alpha = 75^\circ \sim 80^\circ$ の範囲で捩れフランジャー、 $\alpha = 82.5^\circ$ 、 $\bar{V} = 8.5$ で捩れの渦励振が起ころ（図-2）。迎角 $75^\circ \sim 80^\circ$ の狭い範囲で起る3次捩れフランジャーはスティール製模型においても確かめることができた。

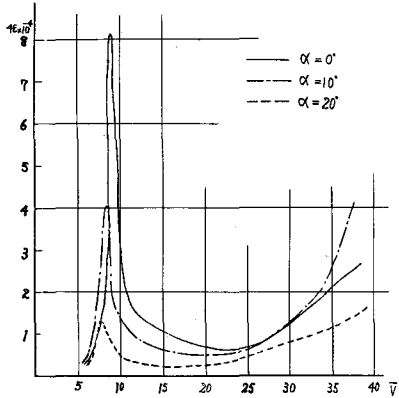


図-1. 曲げ振動

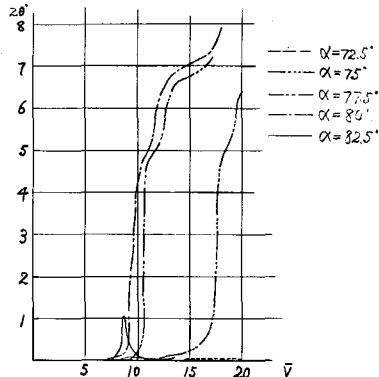


図-2. 捣り振動

3. 防振の1~2の試み

アルミ製模型を用いて、2つの模型すなわちH型模型の端部を補強したものの（モデル記号H-A-S）と箱型模型（モデル記号Box）について行った実験の結果について述べる。このときの模型の振動数と減衰率を表-2に記す。

曲げ振動は2.の模型とも $\bar{V}=9$ 付近でピークをもつ渦励振があらわれ、防振効果が期待できぬ。曲げ振動の防止としては、前報¹⁾で報告したH型断面のウェブに穴をあけてフローパターンを変える方法があり、他にダンパー⁽²⁾を付ける方法もある。

Model	曲げ振動		捩れ振動			
	B-1 $f(\text{Hz})$	B-2 $f(\text{Hz})$	Box $f(\text{Hz})$	Box $f(\text{Hz})$		
H-A-S	44.5	0.055	37.2	0.025	83.2	0.062
Box	44.8	0.044	48.3	0.084	400	0.067

表-2 防振模型の振動数と減衰率

捩れ振動はH型の場合、減衰率が0.026から0.062位まで高くなると微小な渦励振はあらわれるか捩れフランジャーはあらわれない。また箱型断面を用いると捩れ振動数を非常に高めうことができるので発振風速を高めることができ、この実験では $V=45\text{m/s}$ では $\bar{V}=4$ であるから捩れ振動が生じなかった。ゆえに箱型断面を吊弦の全長あるいは両端部に部分的に用いることは、台風時の捩れ振動防止に効果が期待できると考えられる。

（参考文献）

- (1) 吉村虎蔵他：細長H型橋梁部材の風洞実験 第27回年次学術講演会講演概要
- (2) H. Wilmer : Hanging chain impact damper , Proc International Research Seminar N.R.C Ottawa, Canada, Sept 1967